

Figures

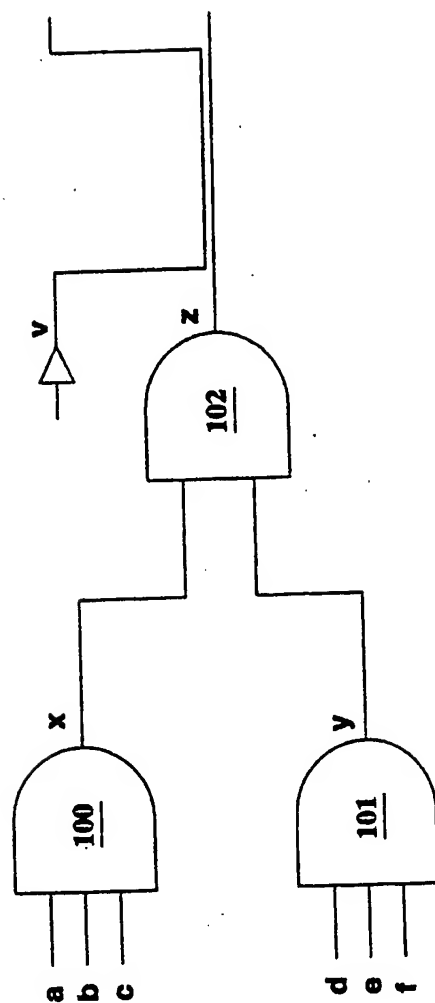


Fig. 1

BUR9-2001-0044-US1
Hathaway et al.
Sheet 2 f 11

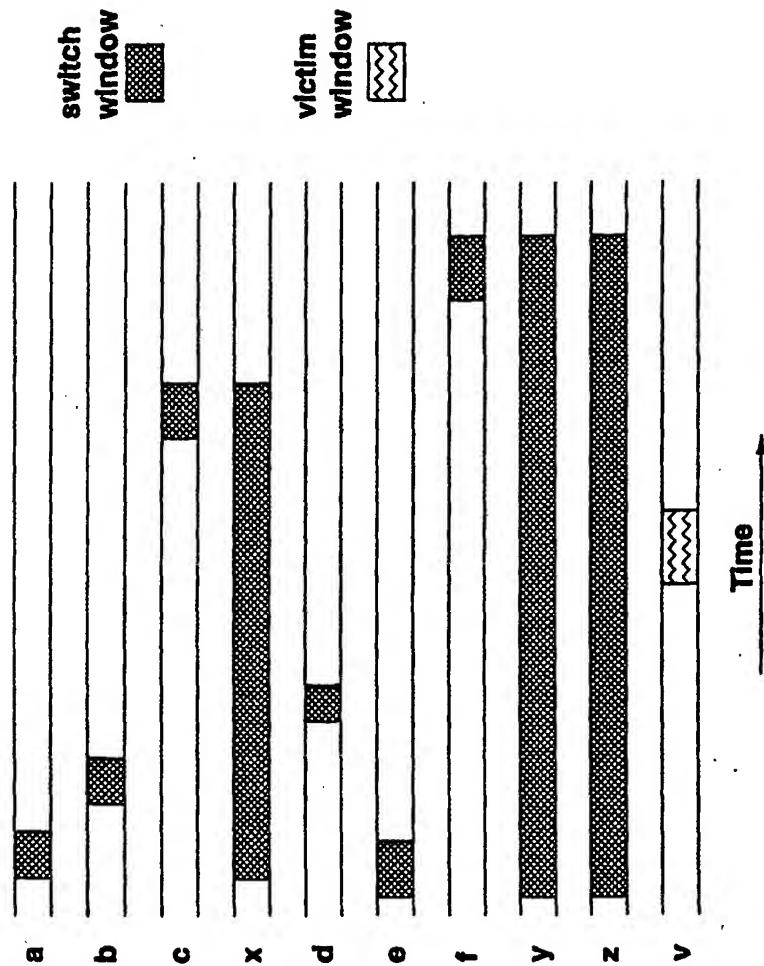


Fig. 2

BUR9-2001-0044-US1

Hathaway et al.

Sheet 3 f11

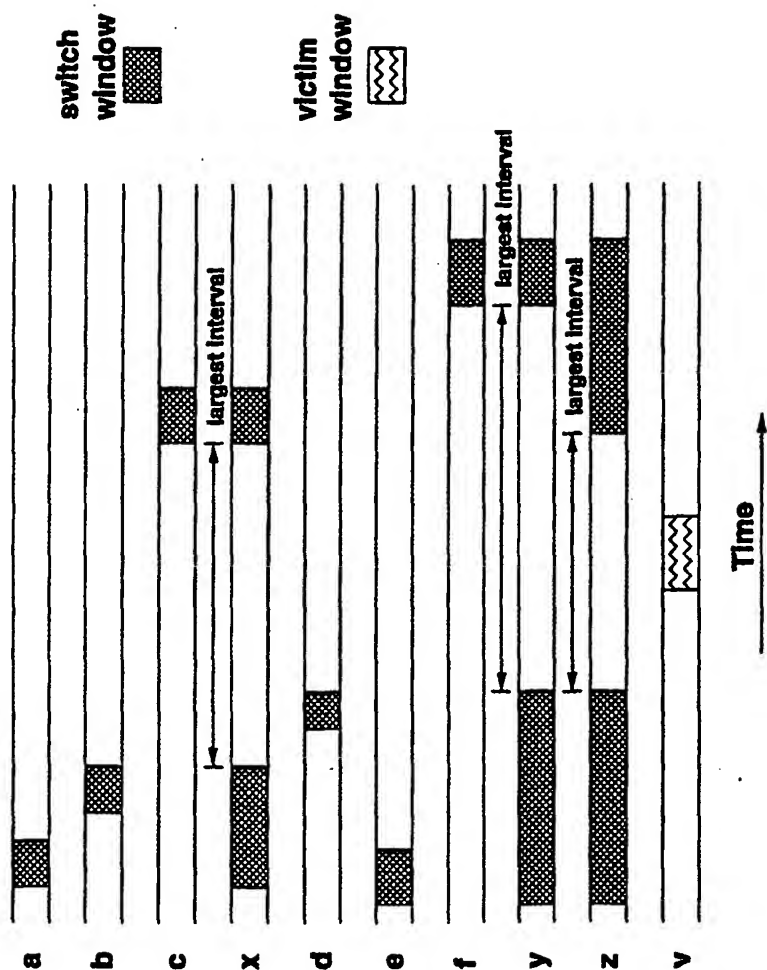


Fig. 3

BUR9-2001-0044-US1
Hathaway et al.
Sheet 4 of 11

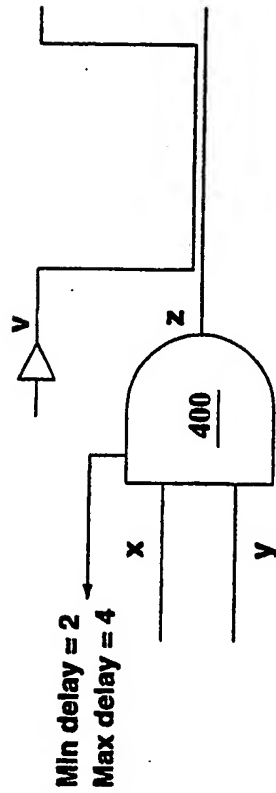


Fig. 4

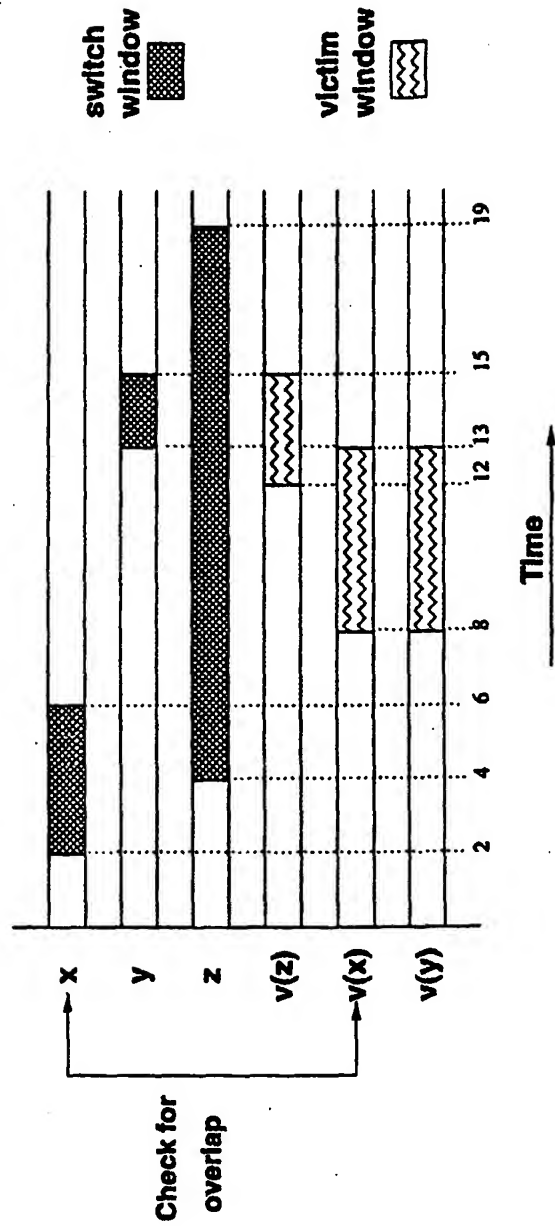


Fig. 5

BUR9-2001-0044-US1
Hathaway et al.
Sheet 6 of 11

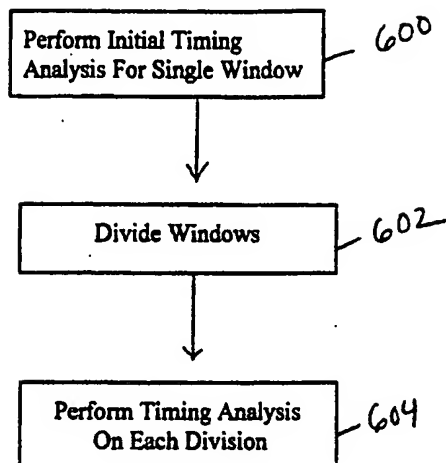


Fig. 6

BUR9-2001-0044-US1
Hathaway et al.
Sheet 7 of 11

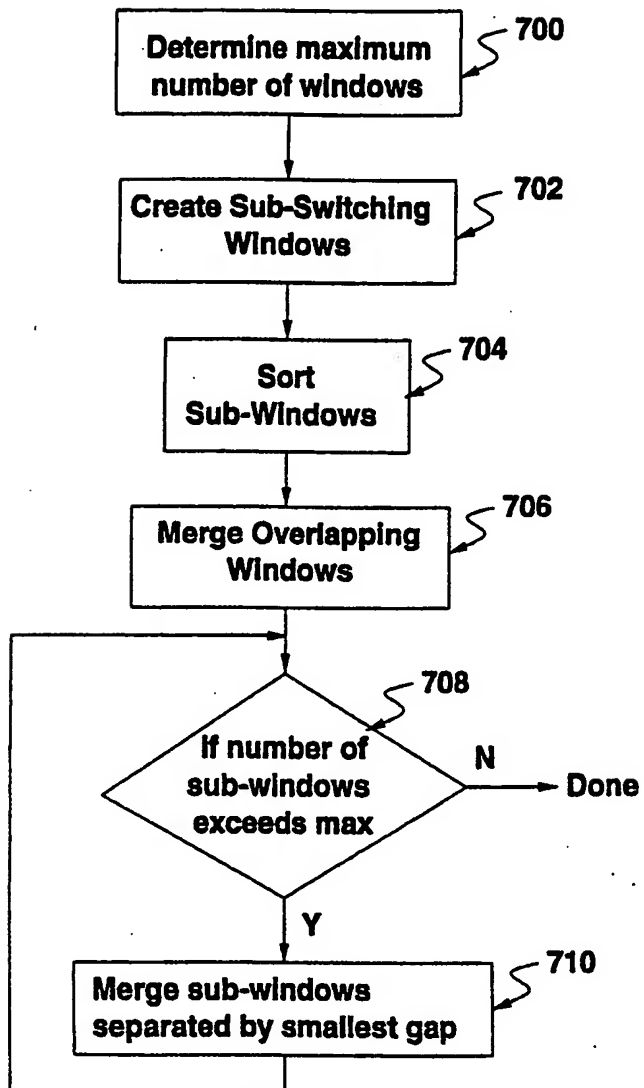
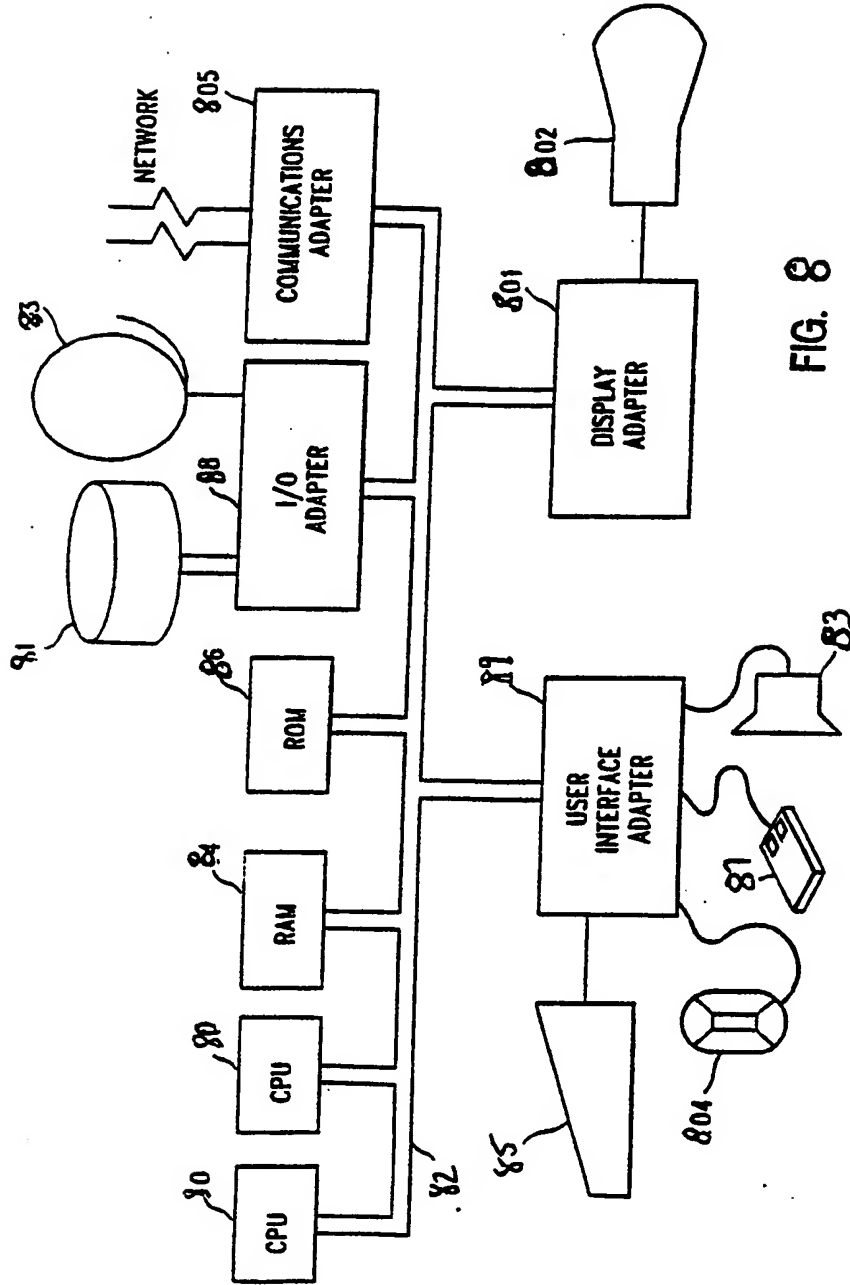


Fig. 7



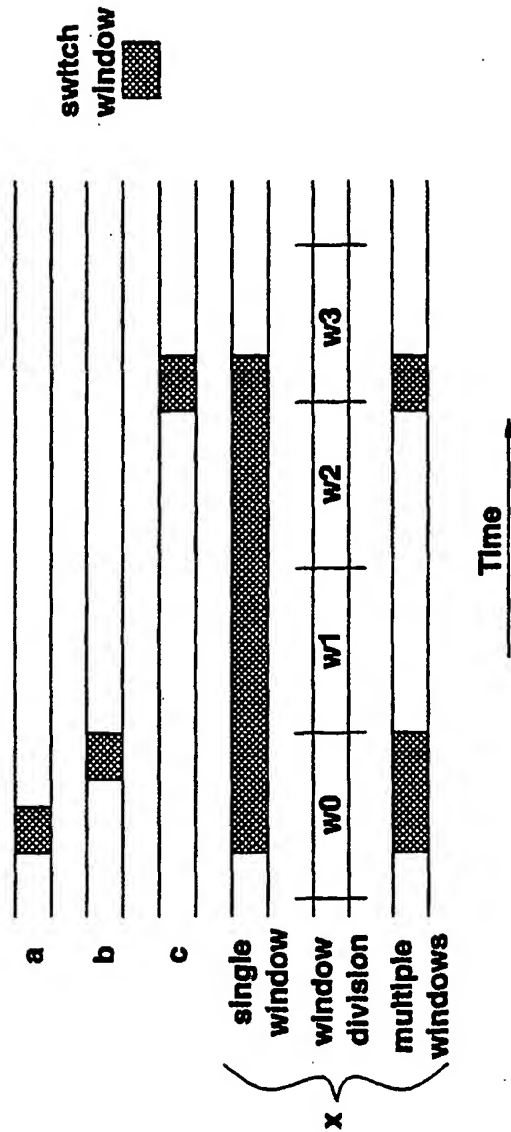


Fig. 9

BUR9-2001-0044-US1
Hathaway et al.
Sheet 10 of 11

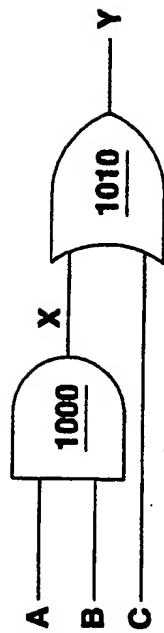


Fig. 10

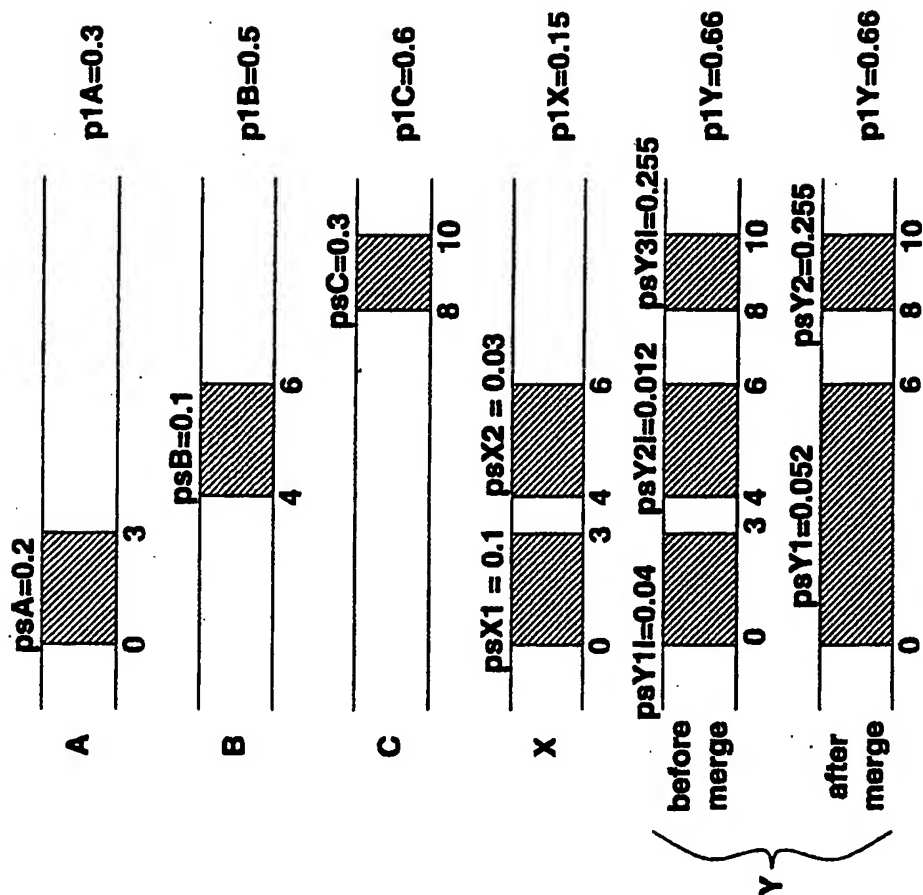


Fig. 11